

Ricordiamo le matrici per le
matrici di Jordan: Fissiamo n ,

Sia \underline{K} una successione non crescente

$$\underline{K} = (k_1, \dots, k_e) \quad k_1 \geq k_2 \geq \dots \geq k_e > 0$$

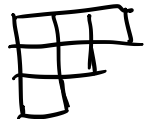
di interi positivi, con $k_1 + k_2 + \dots + k_e = n$

(= una partizione di n , un modo di
scrivere n come somma di interi).

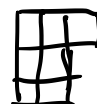
Le non olcrescenze ovunque l'uscita
delle scritte una, ad esempio $5 = 3 + 2$
 $5 = 2 + 3$

sono considerate la stessa partizione.

La partizione si visualizza col diagramma
di Young



k_1 caselle
 k_2 caselle
:



$$= (3, 2, 2)$$

per $k > 0$ $J_k = \begin{pmatrix} 0 & 1 & & \\ & 0 & \ddots & \\ & & \ddots & 0 \\ 0 & & & \ddots & 0 \end{pmatrix}$ si dice il blocco

di Jordan di ordine k . Alle partizioni \underline{K}

si associa la matrice $J_{\underline{K}}$ che è diagonale a blocchi con un blocco di ordine K_1 , uno di ordine K_2 etc... $J_{\underline{K}} \in M_n(\mathbb{K})$

$$J_{\underline{K}} = \begin{pmatrix} J_{K_1} & & & \\ & J_{K_2} & & \\ & & \ddots & \\ 0 & & & J_{K_d} \end{pmatrix} \text{ vs. } J_{(3,2,2)} = \begin{pmatrix} 0 & 1 & 0 & & 0 & 0 \\ 0 & 0 & 1 & & 0 & 0 \\ 0 & 0 & 0 & & 0 & 0 \\ \hline 0 & 0 & 0 & 0 & 1 & 0 \\ 0 & 0 & 0 & 0 & 0 & 1 \\ 0 & 0 & 0 & 0 & 0 & 0 \end{pmatrix}$$

OSS. Se permessemmo i blocchi di Jordan di varie stesse permutazioni otterremmo matrici simili: es.

$$J_{(3,2,2)} \underset{\sim}{\sim} \begin{pmatrix} 0 & 1 & & & 0 & 0 \\ 0 & 0 & & & 0 & 0 \\ \hline 0 & 0 & 1 & 0 & & 0 \\ 0 & 0 & 0 & 1 & & 0 \\ 0 & 0 & 0 & 0 & & 0 \\ \hline 0 & 0 & 0 & 0 & 0 & 1 \\ 0 & 0 & 0 & 0 & 0 & 0 \end{pmatrix}$$

basta permutare i vettori della base.

Torniamo al seguente

ESERCIZIO:

Se \underline{k} e \underline{k}' sono due diverse partizioni di n , allora $J_{\underline{k}}$ e $J_{\underline{k}'}$ non sono simili.

(Sugg. guardare le succ. di numeri $\dim \ker J_{\underline{k}}^a$ $a=1\dots$)

OSS. il pol. minimo di

$$J_{\underline{k}} = \lambda^{k_1}$$

lo facciamo perché le software dicono come si costruisce il diagramma di Yang e partire da f o equivalentemente e partire da dati sulla matrice A che sono invarianti per similitudine:

L'osservazione è che se associo a K il diagramma di Yang, allora J_K dà unendo di K'' in cui l'applicazione corrisponde a spostare il vettore di un passo a sinistra: es

e_1	e_2	e_3
e_4	e_5	
e_6	e_7	

$$\begin{aligned}
 e_3 &\rightarrow e_2 \rightarrow e_1 \rightarrow 0 \\
 e_5 &\rightarrow e_4 \rightarrow 0 \\
 e_7 &\rightarrow e_6 \rightarrow 0
 \end{aligned}$$

da cui vediamo che

$\dim \text{Ker } J_{\underline{k}} = \#$ caselle nelle prime colonne

$\dim \text{Ker } J_{\underline{k}}^2 = \#$ caselle nelle prime due colonne
etc...

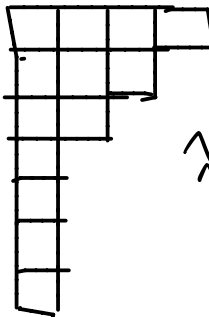
Perciò se $J_{\underline{k}} \sim J_{\underline{k}'} \Rightarrow$

$\dim \text{Ker } J_{\underline{k}}^a = \dim \text{Ker } J_{\underline{k}'}^a \quad \forall a=1\dots$

ma dato che successive di interi

$\dim \text{Ker } A \leq \dim \text{Ker } A^2 \leq \dots \leq \dim \text{Ker } A^e$
c'è un solo modo per costruire
un diagramma di Yang.

Es. poniamo le successioni
 $7, 10, 12, 13$. L'unico diagramma
 possibile è



cioè

$$\lambda = (4, 3, 2, 1, 1, 1, 1)$$

In particolare se ho $f \in \text{End}(V)$
 nilpotente, il teorema sulle
 basi di Jordan mi dice che
 esiste una base B rispetto la
 quale $M_B(f) = J_{\underline{k}}$ per qualche
 \underline{k} . Adesso sappiamo che questo \underline{k}
 è unico, e sappiamo come determinarlo
 partendo dalle successioni
 $\dim \ker f, \dim \ker f^2, \dim \ker f^3, \dots$

E infine, le dimostrazioni del teorema: fissiamo le metà come

Date $k = k_1 \geq k_2 \geq \dots \geq k_e > 0$

diciamo che una base B è di Jordan
(di tipo \underline{k}) se è delle forme

$$\left\{ V_1^{(1)}, \dots, V_{k_1}^{(1)}, V_1^{(2)}, \dots, V_{k_2}^{(2)}, \dots, V_1^{(e)}, \dots, V_{k_e}^{(e)} \right\}$$

(quindi $M_B(f) = J_k$).

Teorema Se $f \in \text{End}(V)$ è
nilpotente \Rightarrow esiste una base
di Jordan (e il suo tipo K)

è determinato come spiegato prima a partire dalle misurazioni $\dim K_{\text{erf}}$, $\dim K_{\text{erf}}^2$ etc...

L'osservazione utile per capire la dimostrazione è che se mettiamo i vettori delle basi nel disegno di Yang, una base di $\text{Im } f$ è data dai vettori che non sono "ultimi e destra" in ogni riga: Es.

$V_1^{(1)}$	$V_2^{(1)}$	$V_3^{(1)}$	$V_4^{(1)}$
$V_1^{(2)}$	$V_2^{(2)}$	$V_3^{(2)}$	
$V_1^{(3)}$	$V_2^{(3)}$		
$V_1^{(4)}$			
$V_1^{(5)}$			
$V_1^{(6)}$			
$V_1^{(7)}$			

cioè

$$K = (4, 3, 2, 1, 1, 1, 1)$$

$$\Rightarrow \text{Im } f = \text{Span} \{ V_1^{(1)}, V_2^{(1)}, V_3^{(1)}, V_1^{(2)}, V_2^{(2)}, V_1^{(3)} \}$$

Inoltre $\{v_1^{(1)}, v_2^{(1)}, v_3^{(1)}, v_1^{(2)}, v_2^{(2)}, v_1^{(3)}\}$

è una base di Jordan per $f_{|_{\text{Im } f}}$

e il tipo è $(3, 2, 1) =$

$$(4, 3, 2, 1, 1, 1, 1) - (1, 1, 1, 1, 1, 1, 1).$$

Dimm Per induzione su $\dim V = n$.

$n=1$ L'unico end nilp. è 0, viene da dimostrazione.

Ipot. INDUTTIVA per ogni $g \in \text{End}(W)$

g nilpotente, $\dim W < n$,
esiste una base di Jordan.

Poiché f è nilpotente $\dim \ker f > 0$
 quindi $\dim \text{Im } f < \dim V$.

$\text{Im } f$ è f -invariante e

$f_{|_{\text{Im } f}}$: $\text{Im } f \hookrightarrow$ è nilpotente.

Possiamo quindi applicare l'ipotesi
 induttiva: Sia $K' = K'_1 \geq K'_2 \geq \dots \geq K'_n$
 le partizioni associate a $f_{|_{\text{Im } f}}$
 indichiamo

$$B' = \left\{ v_1^{(1)}, \dots, v_{K'_1}^{(1)}, v_1^{(2)}, \dots, v_{K'_2}^{(2)}, \dots, v_1^{(\alpha)}, \dots, v_{K'_\alpha}^{(\alpha)} \right\}$$

la base di Jordan per $f_{|_{\text{Im } f}}$.

$$\underline{\text{OSS.}} \quad \dim \text{Im } f = \sum_{i=1}^{\alpha} K'_i = : r$$

OSS. $\{v_1^{(1)}, v_1^{(2)}, \dots, v_1^{(\alpha)}\}$ è una base di
 $\text{Im } f \cap \ker f$.

Teor. del
range

Completiamo a

$$\{ v_1^{(1)}, \dots, v_1^{(a)}, v_1^{(a+1)}, \dots, v_1^{(n-r)} \}$$

consideriamo i vettori

$$\{ v_{k'_1}^{(1)}, v_{k'_2}^{(2)}, \dots, v_{k'_a}^{(a)} \} \text{ cioè:}$$

vettori più a destra in ogni riga
del diagramma di Young per f_{Inf}

questi vettori sono nell'immagine
di f quindi esistono

$$v^{(1)}, \dots, v^{(a)} \quad \text{e.t.c.}$$

$$f(v^{(1)}) = v_{k'_1}^{(1)}, \dots, f(v^{(a)}) = v_{k'_a}^{(a)}$$

Adezzo mostriamo che

$$\{v_1^{(1)}, \dots, v_{k_1}^{(1)}, v_1^{(2)}, v_{k_1}^{(2)}, \dots, v_{k_2}^{(2)}, v_1^{(2)}, \dots, v_1^{(a)}, \dots, v_{k_a}^{(a)}, v_1^{(a)}, v_1^{(a+1)}, \dots, v_1^{(n-r)}\}$$

è una base di V . Per costruzione sarà una base di Jordan.

Notiamo che questi vettori sono n , perché siamo partiti dagli r vettori della base di $\text{Im } f$ e abbiamo aggiunto $v_1^{(1)}, \dots, v_1^{(a)}, v_1^{(a+1)}, \dots, v_1^{(n-r)}$ cioè $n-r$ vettori.

Beste quindi mostrare che sono indip.

Scriviamo

$$a_0^{(1)}v_1^{(1)} + \dots + a_{k_1-1}^{(1)}v_{k_1}^{(1)} + a_{k_1}^{(1)}v_1^{(2)} + \dots + a_0^{(a)}v_1^{(a)} + \dots + a_{k_a-1}^{(a)}v_{k_a}^{(a)} + a_{k_a}^{(a)}v_1^{(a+1)} + \dots + a^{(n-r)}v_1^{(n-r)} = 0$$

$$a_0^{(1)} v_1^{(1)} + \dots + a_{k'_1-1}^{(1)} v_{k'_1}^{(1)} + a_{k'_1} v_1^{(1)} + \dots + a_0^{(a)} v_1^{(a)} + \dots + a_{k'_a-1}^{(a)} v_{k'_a}^{(a)} \\ + a_{k'_a} v^{(a)} + a_0^{(a+1)} v_1^{(a+1)} + \dots + a_0^{(n-r)} v_1^{(n-r)} = 0 \quad (*)$$

applichiamo f e troviamo

$$a_1^{(1)} v_1^{(1)} + \dots + a_{k'_1}^{(1)} v_{k'_1}^{(1)} + \dots + a_1^{(a)} v_1^{(a)} + \dots + a_{k'_a}^{(a)} v_{k'_a}^{(a)} = 0$$

ma i vettori in queste comb. lineare

sono per ipotesi lin. indip. quindi

$$a_i^{(j)} = 0 \quad \text{per } j=1 \dots a \text{ e } i=1, \dots k'_j.$$

cancelando i termini in (*) troviamo:

$$a_0^{(1)} v_1^{(1)} + \dots + a_0^{(a)} v_1^{(a)} + a_0^{(a+1)} v_1^{(a+1)} + \dots + a_0^{(n-r)} v_1^{(n-r)} = 0$$

ma per costruzione $v_1^{(1)}, \dots, v_1^{(n-r)}$ è una
base del nucleo e il Teorema è
fornito (UFF!) \square

Se $\lambda \in \mathbb{K}$ e \underline{k} è una partizione poniamo
 $J_{\lambda, \underline{k}} := \lambda \text{Id}_n + J_{\underline{k}} \in M_{\underline{n}}(\mathbb{K})$.

Oss. $p_{J_{\lambda, \underline{k}}}(x) = (\lambda - x)^d$

Corollario Sia $f \in \text{End}(V)$ t.c. tutte le radici di $p_f(\lambda)$ siano in \mathbb{K} ;

Siamo $\lambda_1, \dots, \lambda_r$ le radici distinte
 m_1, \dots, m_r le relative molteplici
i.e. $p_f(x) = \prod_{i=1}^r (\lambda_i - x)^{m_i}$

\Rightarrow Esistono \underline{k}_1 partizione di m_1 ,
... \underline{k}_r partizione di m_r , ed
esiste una base B di V t.c.

$$M_{\mathcal{B}(f)} = \left(\begin{array}{c|c|c} J_{\lambda_1, k_1} & & \\ \hline & J_{\lambda_2, k_2} & \\ \hline & & \ddots \\ & & J_{\lambda_r, k_r} \end{array} \right)$$

Dim.

Siamo

$$d_1 = \dim \ker(f - \lambda_1 I)^{m_1}, \dots, d_r = \dim \ker(f - \lambda_r I)^{m_r}$$

le dimensioni degli autovalori generalizzati.

Dal CRT, dall'osserv. che

$(f - \lambda_i I)$ | $\ker(f - \lambda_i I)^r$ è nilpotente e dal Teorema sull'esistenza

dalle base di Jordan, si ha
una base B t.c.

$$M_{B(f)} = \left(\begin{array}{c|c|c|c} J_{\lambda_1, k_1} & & & \\ \hline & J_{\lambda_2, k_2} & & \\ \hline & & \ddots & \\ & & & J_{\lambda_r, k_r} \end{array} \right)$$

con k_1 partizione di $\dim \ker(f - \lambda_1 I)^{m_1}$
 $\dots k_r \dots \dim \ker(f - \lambda_r I)^{m_r}$.

Calcolando il pol. caratteristico si vede

$$\dim \ker(f - \lambda_i I)^{m_i} = m_i \quad \square$$